

УДК 551.46

## ВАРИАЦИИ АМПЛИТУДЫ КРАЕВЫХ ВОЛН ПРИ МЕДЛЕННОМ ВДОЛЬБЕРЕГОВОМ ИЗМЕНЕНИИ ПАРАМЕТРОВ ШЕЛЬФА

© 2006 г. А. А. Куркин\*, Е. Н. Пелиновский\*\*, О. Е. Полухина\*

\*Нижегородский государственный технический университет 603600 Нижний Новгород, ул. Минина, 24

E-mail: kurkin@kis.ru

\*\*Институт прикладной математики РАН 603600 Нижний Новгород, ул. Ульянова, 46

Поступила в редакцию 21.01.2005 г., после доработки 20.06.2005 г.

Динамика краевых волн над шельфом с цилиндрическим рельефом дна, параметры которого медленно изменяются во вдольбереговом направлении, исследована в рамках линейной теории мелкой воды. Амплитуда краевой волны рассчитана с использованием асимптотической теории и энергетического подхода. Аналитические результаты получены для трех различных профилей шельфа: бесконечного линейного, вогнутого экспоненциального и шельфа-ступеньки – с переменными вдоль берега параметрами.

### ВВЕДЕНИЕ

Краевые волны, многократно зарегистрированные в волновом поле на шельфе [1–4] играют значительную роль в динамике прибрежной зоны и часто рассматриваются как определяющий фактор эволюции береговой линии при формировании ритмических форм рельефа, таких как серповидные бары и фестоны [5]. В книге [6] приведены фотографии береговых структур, сформированных под воздействием краевых волн. Результаты лабораторных экспериментов и грубые оценки характерных масштабов согласуются с наблюдаемыми особенностями морфологии берегов, однако до сих пор не исследована энергетика этих процессов, и, как отмечалось в [7], нет количественных моделей, описывающих эволюцию берега и дна под действием краевых волн.

Мелкомасштабные краевые волны обычно генерируются набегающими ветровыми волнами вследствие сильной нелинейности поля ветровых волн [8–12]. Крупномасштабные краевые волны являются основным компонентом возмущений водной поверхности, генерируемым циклонами, движущимися вдоль побережья [13]. Существованием захваченных волн объясняется неравномерный характер распределения высот волн цунами вдоль береговой линии [14–16]. В целом до 70% энергии волн цунами переносится вдоль Курильских островов в виде краевых волн [17].

Поперечная относительно берега структура баротропных захваченных волн в бассейне переменной глубины описана в работах [14, 18–22] и книгах [5, 23]. Недавно были получены некоторые точные решения полных нелинейных уравнений гидродинамики, описывающие волны во вращающемся океане над шельфом с постоянным уклоном [24]. Математически это достаточ-

но сложная задача, поскольку краевая задача оказывается двумерной (относительно вертикальной и поперечной к берегу координат). Только в приближении мелкой воды краевая задача содержит одну переменную (поперечную координату), при этом переменная глубина играет роль потенциала в уравнении Штурма-Лиувилля. Для этого случая достаточно подробно изучены свойства краевых волн над дном с произвольным профилем [5, 20, 21, 23]. Нелинейная теория длинных краевых волн также имела свое развитие: было выведено уравнение Кортевега де Бриза [25], вычислены нелинейные поправки к фазовой скорости [26–29], выведено нелинейное уравнение Шредингера длягибающей [29–32], проанализированы нелинейные взаимодействия в триадах краевых волн [33–36], исследована нелинейная динамика краевых волн над линейно наклонным дном [37, 38]. Хочется также отметить слабодисперсионную модель краевых волн, развитую в [39].

В большинстве теоретических исследований рассматривается бассейн с цилиндрической геометрией, когда глубина океана зависит лишь от поперечной к берегу координаты. Реальные ситуации, как правило, сложнее, и приходится принимать во внимание двумерную изменчивость глубины бассейна. Так, например, в работе [40] анализировались захват и рассеяние топографических волн на эстуариях и мысах; в [41] рассматривалось рассеяние краевых волн береговыми структурами, перпендикулярными к линии берега. В настоящей работе мы рассматриваем ситуацию, когда глубина бассейна – функция двух горизонтальных координат с сильной зависимостью от поперечной к берегу координаты  $x$  и слабой зависимостью от вдольбереговой координаты  $y$ .

## 2. ВАРИАЦИИ АМПЛИТУДЫ КРАЕВЫХ ВОЛН

В линейной теории мелкой воды динамика краевых волн описывается уравнением для смещение водной поверхности  $\eta$ :

$$\frac{\partial^2 \eta}{\partial t^2} - g \operatorname{div}[h(x, y) \nabla \eta] = 0, \quad (1)$$

где  $t$  – время,  $h(x, y)$  – глубина бассейна,  $g$  – гравитационное ускорение, а гравитационные операторы  $\operatorname{div}$  и  $\nabla$  действуют в горизонтальной плоскости  $(x, y)$ . Соответствующие граничные условия, которым должны удовлетворять решения уравнения (1), должны иметь вид:

– на береговой линии  $y_0(x)$ , где  $h(y_0(x), x) \equiv 0$ , волновое поле должно быть ограниченным, что следует из условия непротекания;

– вдали от берега ( $y \rightarrow \infty$ ) волны должны затухать.

Мы будем рассматривать монохроматические волны, периодические во времени:  $\eta(x, y, t) = \zeta(x, y) \exp(i\omega t)$ , тогда (1) сводится к

$$\operatorname{div}[h(x, y) \nabla \zeta] + \frac{\omega^2}{g} \zeta = 0. \quad (2)$$

При стандартном подходе, когда  $h = h(y)$ , переменные в уравнении (2) можно разделить:

$$\zeta(x, y) = F(y) \exp(-ikx), \quad (3)$$

при этом  $F(y)$  и  $k$  удовлетворяют краевой задаче

$$\hat{\Gamma}F = \frac{d}{dy} \left[ h(y) \frac{dF}{dy} \right] + \left( \frac{\omega^2}{g} - h(y)k^2 \right) F = 0 \quad (4)$$

с соответствующими граничными условиями на берегу и бесконечности. Структура собственных функций определяется формой донного рельефа и частотой волны.

Теперь мы рассмотрим обобщение этой задачи, когда глубина моря представима в виде  $h = h(y, \varepsilon x)$ , где  $\varepsilon \ll 1$  – малый параметр. Поскольку вдольбереговые изменения формы дна предполагаются гладкими, форма волны в нулевом порядке по  $\varepsilon$  должна иметь вид, аналогичный (3), со слабой зависимостью от вдольбереговой координаты:

$$\zeta(x, y) = A(X)F(y, X) \exp(-i\theta) + \varepsilon \eta_1(y, X) \exp(-i\theta) + \varepsilon^2 \dots, \quad (5)$$

где  $X = \varepsilon x$ , и

$$k(X) = \frac{d\theta}{dx} \quad (6)$$

– вдольбереговое волновое число. Мы предполагаем также, что мода  $F(y, X)$  нормализована, тогда  $A(X)$  – амплитуда волны на берегу. Выделяя слагаемые при одинаковых степенях малого параметра  $\varepsilon$  после подстановки (5) в (2) с учетом (6), в низшем порядке при  $\varepsilon^0$  получаем краевую задачу

чу, аналогичную (4), для каждой фиксированной точки береговой линии  $X$ . Таким образом, будут найдены поперечная структура волнового поля  $F(y, X)$  и вдольбереговое волновое число  $k$ . Амплитуда волны не определена в низшем порядке.

В первом порядке, при  $\varepsilon^1$ , получается неоднородная краевая задача

$$\hat{\Gamma}\eta_1 = H_1, \quad (7)$$

с соответствующими граничными условиями. Здесь

$$H_1 = 2ikh \frac{\partial}{\partial X} (AF) + iAF \frac{\partial}{\partial X} (kh)). \quad (8)$$

Как известно, неоднородная краевая задача разрешима при условии, что правая часть уравнения (7) ортогональна собственным функциям оператора, сопряженного с  $\hat{\Gamma}$ . Используя граничные условия непротекания на берегу и затухания на бесконечности, легко показать, что оператор  $\hat{\Gamma}$  – самосопряженный. Поэтому для разрешимости задачи (7) достаточно потребовать, чтобы правая часть  $H_1$  была ортогональна собственным функциям  $F$ :

$$\int_{y_0(X)}^{\infty} H(y, X)F(y, X)dy = 0. \quad (9)$$

После несложных математических манипуляций (9) легко свести к уравнению

$$\int_{y_0(X)}^{\infty} \frac{\partial}{\partial X} [k(X)h(y, X)A^2(X)F^2(y, X)]dy = 0. \quad (10)$$

Принимая во внимание соотношение на берегу  $h(y_0(X), X) = 0$ , можно сказать, что уравнение (10) эквивалентно закону сохранения для интеграла

$$A^2(X)k(X) \int_{y_0(X)}^{\infty} h(y, X)F^2(y, X)dy = \text{const}. \quad (11)$$

Другое уравнение для нахождения  $k(X)$  можно получить из уравнения (4), которое также можно переписать в интегральной форме

$$\begin{aligned} & k^2(X) \int_{y_0(X)}^{\infty} h(y, X)F^2(y, X)dy = \\ & = \frac{\omega^2}{g} \int_{y_0(X)}^{\infty} F^2(y, X)dy - \int_{y_0(X)}^{\infty} h(y, X) \left( \frac{\partial F(y, X)}{\partial y} \right)^2 dy. \end{aligned} \quad (12)$$

Таким образом, амплитуда  $A(X)$  краевой волны, ее волновое число  $k(X)$  и поперечная структура  $F(y, X)$  полностью определены и могут быть использованы для исследования эволюции таких волн на шельфе, параметры которого медленно изменяются вдоль берега.

Как обычно при применении асимптотических методов результаты, получаемые в первом по-

рядке, можно интерпретировать как усредненный по времени закон сохранения потока энергии

$$S = \iint pudydz = \text{const}. \quad (13)$$

Здесь  $p$  – давление,  $u$  – вдольбереговой компонент скорости жидкости. Имея в виду, что в приближении мелкой воды давление гидростатично

$$p = \rho g(\eta - z), \quad (14)$$

а вдольбереговая скорость в бегущей волне выражается через смещение поверхности как

$$u(x, y, t) = \frac{gk}{\omega} \eta(x, y, t), \quad (15)$$

после интегрирования по периоду волны уравнение (13) совпадает с (11) при соответствующем выборе констант. Таким образом, энергетический подход можно использовать для проверки результатов, получаемых асимптотическими методами.

### 3. ТРАНСФОРМАЦИЯ КРАЕВЫХ ВОЛН НА ШЕЛЬФАХ РАЗЛИЧНОЙ ФОРМЫ

Далее мы рассмотрим несколько примеров трансформации краевых волн на шельфах различной формы.

#### 3.1. Линейный бесконечный откос

Первый пример – краевые волны Стокса, распространяющиеся вдоль линейного бесконечного откоса ( $h = \alpha y$ ), малый угол наклона которого медленно изменяется вдоль берега:  $\alpha = \alpha(X)$ . Решения задачи (4) в этом случае выражаются через полиномы Лагерра

$$F = \exp(-k_n \tilde{y}) L_n(2k_n \tilde{y}), \quad (16)$$

где  $\tilde{y} = y - y_0(X)$ , а дисперсионное соотношение имеет вид

$$\omega = \sqrt{(2n+1)\alpha g k_n}, \quad (17)$$

причем для фиксированной частоты (или волнового числа) существует бесконечное число мод краевых волн.

Волновое число краевых волн Стокса может быть найдено из дисперсионного соотношения (17). Видно, что

$$k \sim \frac{1}{\alpha}. \quad (18)$$

Подставляя (16) в (11), получим, что амплитуда любой моды краевых волн Стокса изменяется вдоль берега по закону

$$A \sim \frac{1}{\alpha}. \quad (19)$$

Необходимо отметить, что параметры волны определяются лишь углом наклона дна и не зависят от кривизны береговой линии. Если уклон дна уменьшается, происходит возрастание амплитуды

и уменьшение длины волны, характерные по-перечные масштабы также уменьшаются. В результате волна становится более крутой и локализуется в окрест береговой зоны.

#### 3.2. Экспоненциальный вогнутый шельф

Следующий профиль шельфа имеет два независимых параметра: постоянную глубину на бесконечности  $H_0$  и характерную ширину шельфа  $a^{-1}$ :

$$h(y) = H_0(1 - \exp(-ay)). \quad (20)$$

Задача на собственные значения (4) для этого профиля дна впервые была решена в работе [18], см. также [5, 42]. Дисперсионное соотношение и собственные функции в этом случае имеют аналитические выражения:

$$\omega^2 = \frac{gH_0 a^2}{2} \left( (2n+1) \sqrt{1 + \frac{4k_n^2}{a^2}} - (2n^2 + 2n + 1) \right), \quad (21)$$

$$F_n(k, y) = \exp(-apy) \frac{\Gamma(2p+1)}{\Gamma(2p+n+1)} \times \\ \times \sum_{j=0}^n \frac{n!}{j!(n-j)!} \frac{\Gamma(2p+n+j+1)}{\Gamma(2p+j+1)} (-1)^j \exp(-ajy),$$

где  $\Gamma(z)$  – гамма-функция, и

$$p = \frac{1}{2} \left( \sqrt{1 + \frac{4k_n^2}{a^2}} - (2n+1) \right). \quad (23)$$

Дисперсионное соотношение (21) для шельфа с параметрами  $H_0 = 7$  м и  $a = 3.14 \times 10^{-2}$  м<sup>-1</sup> показано на рис. 1. Указанные параметры характеризуют условия на побережье Южного Девона, где были получены ранние данные наблюдений краевых волн [1].

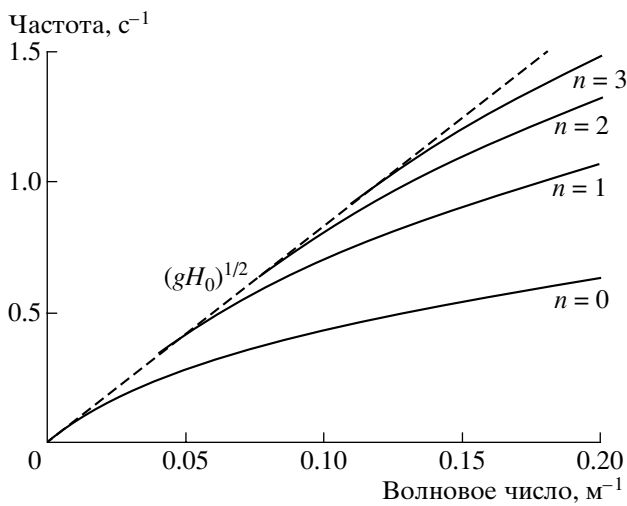
Важной характеристикой дисперсионных кривых для краевых волн над экспоненциальным шельфом является минимальная частота существования отдельных мод, которая определяется выражением

$$\omega_n^{\min} = a[gH_0 n(n+1)]^{1/2}, \quad (24)$$

а также длинноволновая асимптотика для скорости волн, определяемая скоростью на максимальной глубине  $H_0$  (показана пунктиром на рис. 1).

Закон изменения амплитуды краевой волны при медленном изменении параметров экспоненциального шельфа  $H_0$  и  $a$  можно получить из (11) после подстановки (22). Интегрирование можно выполнить, и для низшей моды ( $n = 0$ ) получим

$$A^2 \sim \frac{4\omega^2}{H_0 \sqrt{(2\omega^2 + gH_0 a^2)^2 - g^2 H_0^2 a^4} \left( 1 - \frac{2\omega^2}{2\omega^2 + gH_0 a^2} \right)}. \quad (25)$$

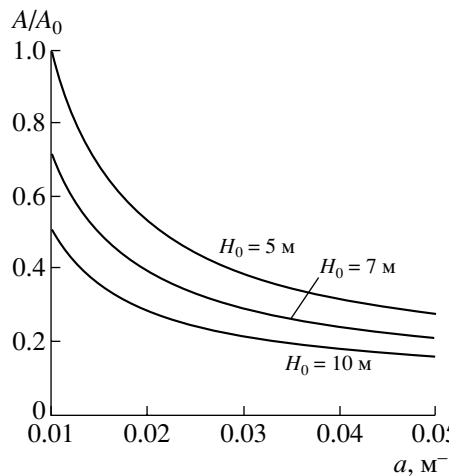


**Рис. 1.** Дисперсионные кривые краевых волн над экспоненциальным шельфом.

Рис. 2 демонстрирует вариации амплитуды волны нулевой моды при изменении параметров шельфа (амплитуда нормирована на величину  $A_0$ , вычисленную из (25) при  $H_0 = 5$  м и  $a = 0.01$  м<sup>-1</sup>). Видно, что с увеличением  $H_0$  и  $a$  амплитуда падает. Действительно, параметр  $a$  пропорционален наклону дна вблизи берега, и его уменьшение приводит к росту амплитуды, как это и происходило в случае краевых волн Стокса.

Для первой ( $n = 1$ ) моды краевых волн изменения амплитуды описываются формулой

$$A^2 \sim \frac{12p(1+p)(1+2p)(3+2p)}{H_0\Theta \sqrt{\left(\frac{2\omega^2}{gH_0a^2} + 5\right)^2 - 9}}, \quad (26)$$



**Рис. 2.** Изменение амплитуды нулевой моды краевых волн над экспоненциальным шельфом.

где

$$\begin{aligned} \Theta = & 4p^3 + 12p^2 + 11p + 3 - 2c^2 p(2p^2 + 3p + 1) + \\ & + cp(c+2)(4p^2 + 8p + 3) - \\ & - 2p(2c+1)(2p^2 + 5p + 3), \end{aligned} \quad (27)$$

$$c = \frac{\Gamma(2p+3)\Gamma(2p+1)}{\Gamma^2(2p+2)}, \quad p = \frac{1}{3}\left(\frac{\omega^2}{gH_0a^2} - 2\right).$$

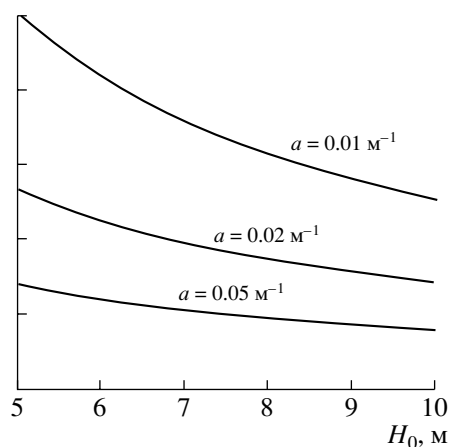
Здесь необходимо отметить, что уже для первой моды (в отличие от нулевой) действует ограничение на частоту волны:  $\omega > \omega_1^{\min}$ , которое определяется выражением (24). Однако минимальная частота (24) также зависит от параметров шельфа  $H_0$  и  $a$ , поэтому она также изменяется при изменении этих величин, а, значит, может достигнуть частоты волны (рис. 3), при этом волна такой частоты больше не может существовать, и ее амплитуда должна уменьшаться до нуля при приближении  $\omega_1^{\min}$  к частоте волны. Этот эффект “непропускания” иллюстрируется рис. 4. Из этого рисунка видно, что, как и в случае с нулевой модой, амплитуда краевой волны уменьшается, когда шельф сужается и становится более глубоким.

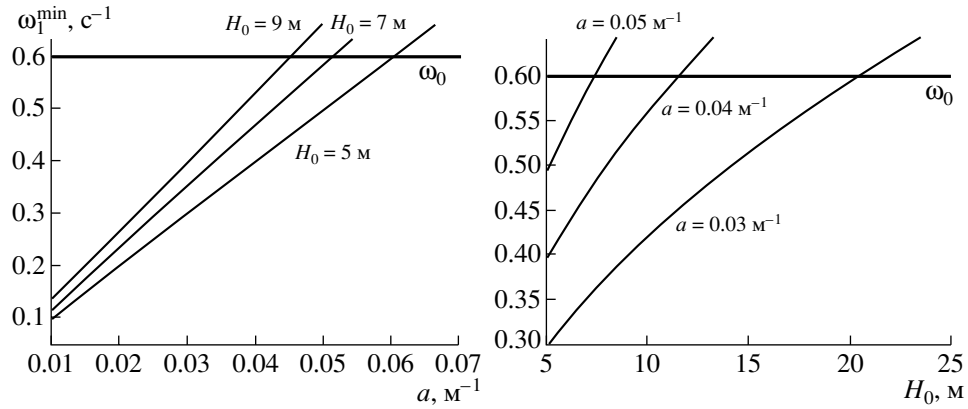
### 3.3. Шельф-ступенька

Последний пример — это ступенчатый шельф, глубина которого описывается функцией

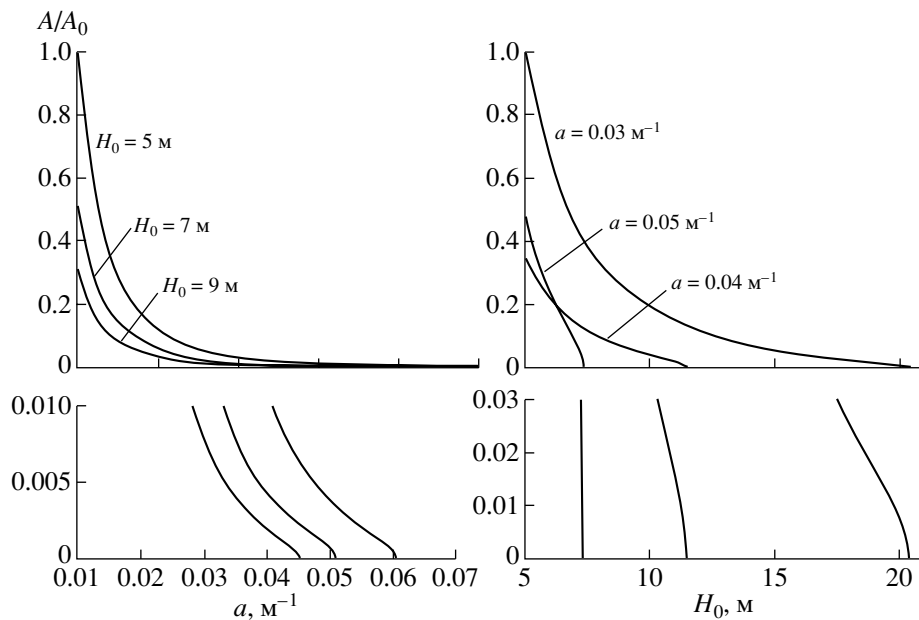
$$h(y) = \begin{cases} h_1, & 0 \leq y < l, \\ h_2, & y \geq l, \end{cases} \quad h_2 > h_1. \quad (28)$$

Многие работы касались исследования краевых волн в бассейне с такой геометрией [5, 21, 43]. По-





**Рис. 3.** Минимальная частота первой моды краевых волн  $\omega_1^{\min}$  в зависимости от параметров экспоненциального шельфа  $a$  и  $H_0$ .



**Рис. 4.** Зависимость нормированной амплитуды первой моды краевой волны от параметров экспоненциального шельфа  $a$  и  $H_0$  (внизу – увеличенные фрагменты верхних рисунков, демонстрирующие уменьшение амплитуды).

перечная структура мод краевых волн в этом случае выражается в элементарных функциях:

$$F = \begin{cases} B \cos \frac{\mu y}{l}, & 0 \leq y < l, \\ B \cos \mu \exp \left( -\sqrt{k^2 - \frac{\omega^2}{gh_2}} (y - l) \right), & y \geq l, \end{cases} \quad (29)$$

где

$$\mu^2 = \frac{\omega^2 l^2}{gh_1} - k^2 l^2, \quad (30)$$

и волновое число изменяется в пределах

$$\frac{\omega^2}{gh_2} < k^2 < \frac{\omega^2}{gh_1}. \quad (31)$$

Дисперсионное соотношение записывается в виде трансцендентного уравнения

$$\mu \operatorname{tg} \mu = \frac{h_2}{h_1} \sqrt{k^2 l^2 - \frac{\omega^2 l^2}{gh_2}}. \quad (32)$$

Дисперсионные кривые краевых волн над шельфом-ступенькой показаны на рис. 5 для параметров, близких к Калифорнийскому шельфу ( $h_1 = 0.6$  км,  $h_2 = 3.6$  км,  $l = 250$  км) [43].

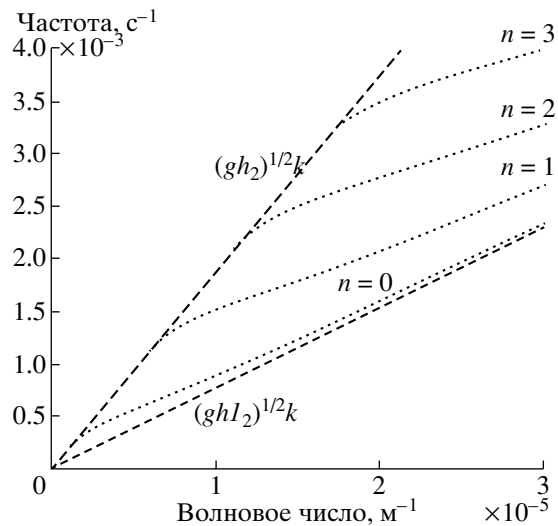


Рис. 5. Дисперсионные кривые для краевых волн над шельфом-ступенькой.

Интеграл (13), описывающий вдольбереговую перестройку краевых волн над плоским ступенчатым шельфом может быть вычислен явно для произвольной моды и выражается формулой

$$A^2 \sim \frac{2}{k \left\{ h_1 l + \frac{h_1 \sin 2l \sqrt{\frac{\omega^2}{gh_1} - k^2}}{2 \sqrt{\frac{\omega^2}{gh_1} - k^2}} + \frac{h_2 \cos^2 l \sqrt{\frac{\omega^2}{gh_1} - k^2}}{2 \sqrt{k^2 - \frac{\omega^2}{gh_2}}} \right\}}. \quad (33)$$

Рис. 6 демонстрирует изменения амплитуды низшей ( $n = 0$ ) моды краевых волн в соответствии с (33) при медленном изменении параметров шельфа. Амплитуда нормирована на значение  $A_0$  получаемое при  $h_1 = 0.4$  км,  $h_2 = 5$  км,  $l = 250$  км.

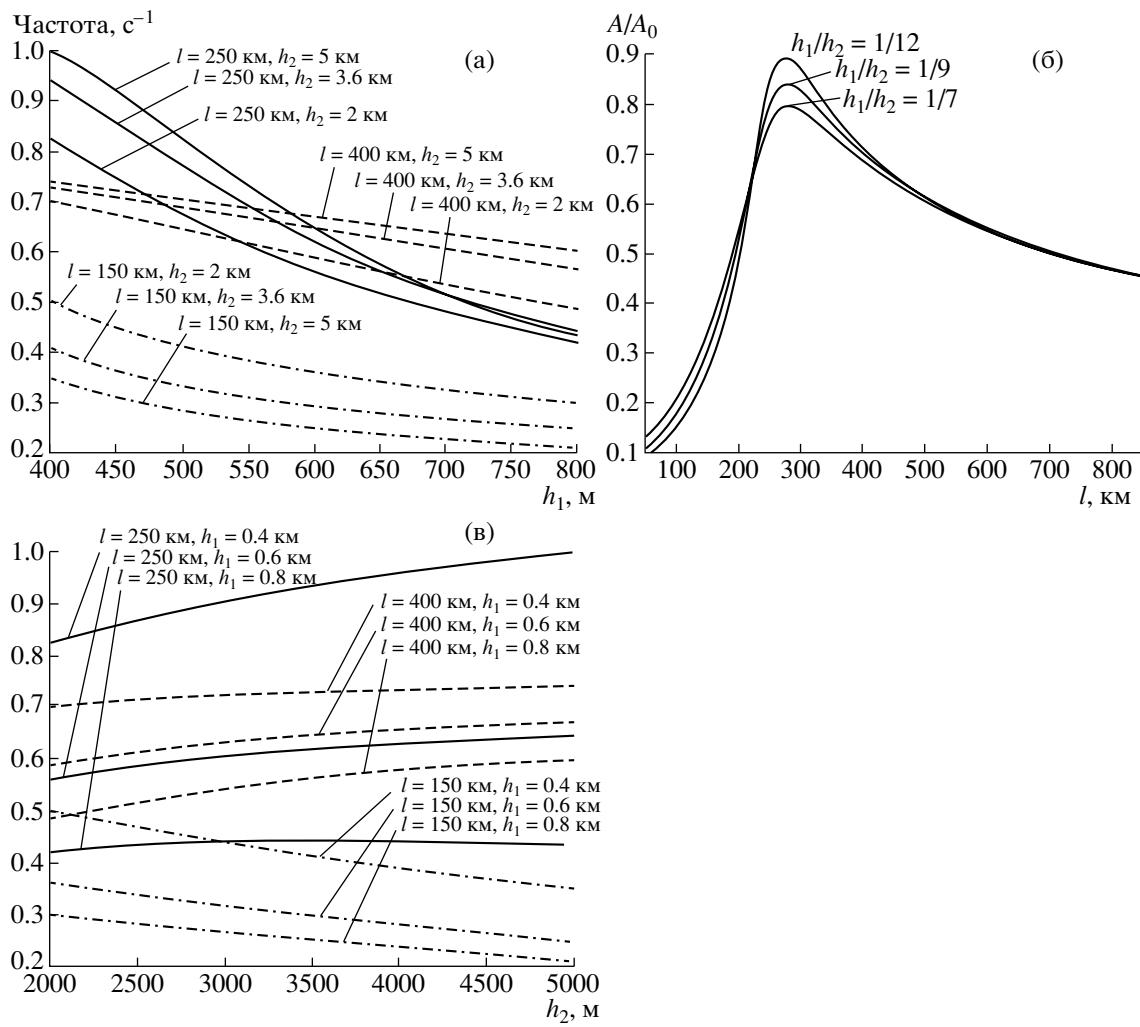
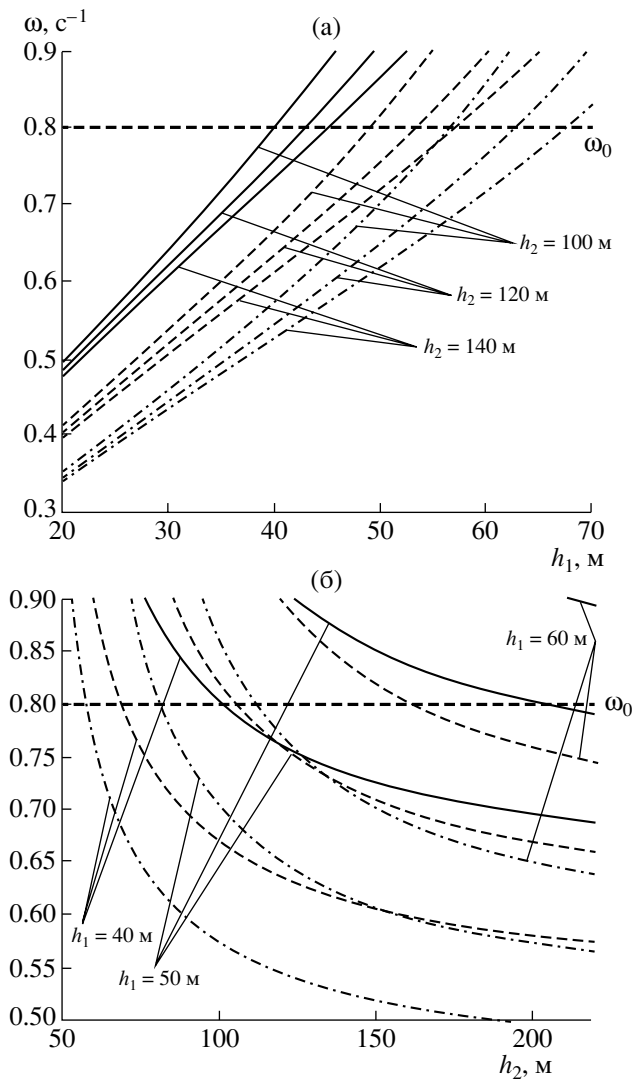


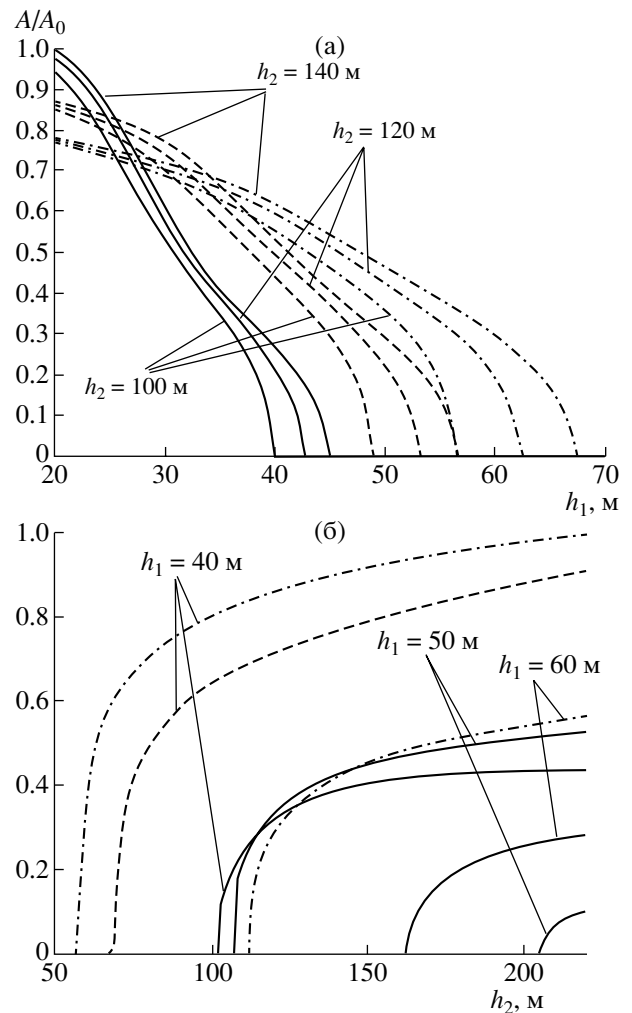
Рис. 6. Изменения амплитуды нулевой моды краевых волн: а – при изменении параметра  $h_1$ ; б – при изменении  $l$ ; в – при изменении  $h_2$ .



**Рис. 7.** Зависимость минимальной частоты первой моды краевых волн  $\omega_1^{\min}$  от параметров шельфа-ступеньки: а – от  $h_1$ ; б – от  $h_2$  (сплошные линии соответствуют  $l = 100$  км, пунктирные –  $l = 120$  км, штрихпунктирные –  $l = 140$  км).

Когда глубина мелководной части шельфа увеличивается, амплитуда уменьшается (рис. 6,а); качественно это вполне согласуется с вычислениями в рамках других моделей шельфов. При изменениях ширины шельфа амплитуда изменяется немонотонно, имея максимум (рис. 6,б). В результате зависимость амплитуды от глубины  $h_2$  также не является монотонной (рис. 6,в).

Как видно из рис. 5 и неравенства (31), для рассматриваемого профиля шельфа, так же как и в предыдущем случае, для всех мод, начиная с  $n = 1$ , имеет место эффект минимальной частоты, значение которой определяется для  $n$ -й моды выражением



**Рис. 8.** Амплитуда первой моды краевых волн над шельфом-ступенькой в зависимости от параметров шельфа: а – от  $h_1$ ; б – от  $h_2$  (сплошные линии соответствуют  $l = 100$  км, пунктирные –  $l = 120$  км, штрихпунктирные –  $l = 140$  км).

$$\omega_n^{\min} = \frac{\pi n}{l} \sqrt{\frac{gh_1h_2}{h_2 - h_1}}. \quad (34)$$

На рис. 7 показана зависимость минимальной частоты первой моды от параметров шельфа. Видно, что минимальная частота растет с увеличением  $h_1$  и уменьшается с ростом  $h_2$ . Эффект непропускания волны с частотой  $0.8 \text{ c}^{-1}$  иллюстрируется рис. 8. Амплитуда такой волны приближается к нулю, когда параметры шельфа изменяются таким образом, что  $\omega_1^{\min}$  достигает заданного значения частоты.

## ЗАКЛЮЧЕНИЕ

Предлагается адиабатическая теория мелководных линейных краевых волн над наклонным дном, глубина которого медленно изменяется во

вдольбереговом направлении. С помощью асимптотической теории получено уравнение, описывающее изменения амплитуд волн вдоль берега. Полученные соотношения проиллюстрированы на примере трех различных профилей шельфа: линейный наклонный, экспоненциальный вогнутый и шельф-ступенька. Показано, что медленные изменения топографии шельфа могут приводить как к усилению, так и к ослаблению краевых волн. Отмечен эффект минимальной частоты, который может приводить к непропусканию волн старших мод.

Учет нелинейных слагаемых, несомненно, повлиял бы на вариации амплитуды краевых волн, однако оценка влияния нелинейности на решение поставленной задачи является предметом самостоятельного исследования и выходит за рамки данной работы.

Работа выполнена при поддержке грантов РФФИ (№ 03-05-64975, № 03-05-06116), INTAS (№ 01-2156, 01-0330, 03-51-4286) и научной школы член-корр. РАН Б.В. Левина НШ-2104.2003.5.

## СПИСОК ЛИТЕРАТУРЫ

1. Huntley D.A., Bowen A.J. Field observations of edge waves // *Nature*. 1973. V. 243. P. 160–162.
2. Bowen A.J., Huntley D.A. Waves, longwaves and near-shore morphology // *Marine Geology*. 1984. V. 60. P. 1–13.
3. Huntley D.A., Guza R.T., Thornton E.B. Field observation of surf beat 1. Progressive edge waves // *J. Geophys. Res.* 1981. V. 86. P. 6451–6466.
4. Bryan K.P., Hows P.A., Bowen A.J. Field observations of bar-trapped edge waves // *J. Geophys. Res.* 1998. V. 103. P. 1285–1305.
5. Рабинович А.Б. Длинные гравитационные волны в океане: захват, резонанс, излучение. СПб.: Гидрометеоиздат, 1993. 325 с.
6. Komar P. Beach Processes and Sedimentation. – N.J.: Prentice-Hall, 1998. 620 p.
7. Fredsoe J., Deigaard R. Mechanics of coastal sediment transport. London: World Sci., 1992. 320 p.
8. Guza R.T., Davis R.E. Excitation of edge waves by waves incident on a beach // *J. Geophys. Research*. 1974. V. 79. P. 1285–1291.
9. Foda M.A., Mei C.C. Nonlinear excitation of long trapped waves by a group of short swell // *J. Fluid Mech.* 1981. V. 111. P. 319–345.
10. Agnon Y., Mei C.C. Trapping and resonance of long shelf waves due to groups of short waves // *J. Fluid Mech.* 1988. V. 195. P. 201–221.
11. Miles J.W. Parametrically excited standing edge waves // *J. Fluid Mech.* 1990. V. 214. P. 43–57.
12. Blondeaux P., Vittori G. The nonlinear excitation of synchronous edge waves by a monochromatic wave normally approaching a plane beach // *J. Fluid Mech.* 1995. V. 301. P. 251–268.
13. Tang Y.M., Grimshaw R. A modal analysis of coastally trapped waves generated by tropical cyclones // *J. Phys. Oceanography*. 1995. V. 25. P. 1577–1598.
14. Ishii H., Abe K. Propagation of tsunami on a linear slope between two flat regions. I. Eigenwave // *J. Phys. Earth*. 1980. V. 28. P. 531–541.
15. Пелиновский Е.Н. Гидродинамика волн цунами. Нижний Новгород: ИПФ РАН, 1996. 276 с.
16. Fujima K., Dozono R., Shigemura T. Generation and propagation of tsunami accompanying edge waves on a uniform sloping shelf // *Coastal Engineering Journal*. 2000. V. 42. P. 211–236.
17. Файн И.В., Шевченко Г.В., Куликов Е.А. Изучение захваченных свойств Курильского шельфа лучевыми методами // *Океанология*. 1983. Т. 23. С. 23–26.
18. Ball F.K. Edge waves in an ocean of finite depth // *Deep-Sea Research*. 1967. V. 14. P. 79–88.
19. Evans D.V., McIver P. Edge waves over a shelf: full linear theory // *J. Fluid Mech.* 1984. V. 142. P. 79–95.
20. Grimshaw R. Edge waves: a long wave theory for oceans of finite depth // *J. Fluid Mech.* 1974. V. 62. P. 775–791.
21. Munk W., Snodgrass F., Wimbush M. Tides off-shore: transition from California coastal to deep-sea waters // *Geophys. Fluid Dynamics*. 1970. V. 1. P. 161–235.
22. Ursell F. Edge waves on a sloping beach // *Proc. Royal Soc. London*. 1955. V. A214. P. 79–97.
23. Ле Блон П., Майсек Л. Волны в океане. М.: Мир, 1981. 845 с.
24. Constantin A. Edge waves along a sloping beach // *J. Phys. A: Math. Gen.* 2001. V. 34. P. 9723–9731.
25. Grimshaw R. Nonlinear aspects of long shelf waves // *Geophys. Astrophys. Fluid Dynamics*. 1977. V. 8. P. 3–16.
26. Whitham G.B. Nonlinear effects in edge waves // *J. Fluid Mech.* 1976. V. 74. P. 353–368.
27. Minzoni A. Nonlinear edge waves and shallow-water theory // *J. Fluid Mech.* 1976. V. 74. P. 369–374.
28. Minzoni A., Whitham G.B. On the excitation of edge waves on beaches // *J. Fluid Mech.* 1977. V. 79. P. 273–287.
29. Дубинина В.А., Куркин А.А., Пелиновский Е.Н., Полухина О.Е. Слабонелинейные периодические краевые волны Стокса // *Известия РАН. Физика атмосферы и океана*. 2004. Т. 40. № 4. С. 525–530.
30. Akylas T.R. Large-scale modulation of edge waves // *J. Fluid Mech.* 1983. V. 132. P. 197–208.
31. Yeh H.H. Nonlinear progressive edge waves: their instability and evolution // *J. Fluid Mech.* 1985. V. 152. P. 479–499.
32. Yang J. The stability and nonlinear evolution of edge waves // *Studied Applied Mathematics*. 1995. V. 95. P. 229–246.
33. Kenyon K.E. A note on conservative edge wave interactions // *Deep-Sea Research*. 1970. V. 17. P. 197–201.
34. Kirby J.T., Putrevu U., Ozkan-Haller H.T. Evolution equations for edge waves and shear waves on longshore uniform beaches // *Proc. 26<sup>th</sup> Int. Conf. Coastal Engineering*. 1998. P. 203–216.

35. Кочергин И.Е., Пелиновский Е.Н. Нелинейное взаимодействие триады краевых волн // Океанология. 1989. Т. 29. № 6. С. 899–903.
36. Куркин А.А., Пелиновский Е.Н., Полухина О.Е., Дубинина В.А. Резонансные трехволновые взаимодействия краевых волн Стокса // Изв. РАН. Физика атмосферы и океана. 2006. Т. 42.
37. Дубинина В.А., Куркин А.А., Полухина О.Е. Нелинейная динамика краевых волн над линейно наклонным дном // Изв. РАН. Физика атмосферы и океана. 2005. Т. 41. № 2. С. 124–128.
38. Куркин А.А. Динамика нестационарных краевых волн Стокса // Океанология. 2005. Т. 45. № 3. С. 325–331.
39. Sheremet A., Guza R.T. A weakly dispersive edge wave model // Coastal Engineering. 1999. V. 38. P. 47–52.
40. Stoker T.F., Johnson E.R. The trapping and scattering of topographic waves by estuaries and headlands // J. Fluid Mech. 1991. V. 222. P. 501–524.
41. Baquerizo A., Losada M.A., Lozada I.J. Edge wave scattering by a coastal structure // Fluid Dynamics Res. 2002. V. 31. P. 275–287.
42. Дубинина В.А., Куркин А.А., Полухина О.Е. Фокусировка краевых волн на шельфе моря // Известия РАН. Физика атмосферы и океана. 2003. Т. 39. № 6. С. 839–848.
43. Snodgrass F.E., Munk W.H., Miller G.R. Long-period waves over California's continental borderland // J. Marine Research. 1962. V. 20. P. 3–30.w